

ارزیابی روش‌های مختلف برآورد تبخیر تعرق گیاه‌مرجع و پهنه‌بندی آن در ایران

حمید زارع ابیانه* - استادیار گروه مهندسی آبیاری، دانشکده کشاورزی، دانشگاه بوعالی سینا

مریم بیات ورکشی - دانشجوی کارشناسی ارشد آبیاری و زهکشی، گروه مهندسی آبیاری، دانشگاه بوعالی سینا

علی اکبر سبزی‌پور - دانشیار گروه مهندسی آبیاری، دانشکده کشاورزی، دانشگاه بوعالی سینا

صفر معروفی - دانشیار گروه مهندسی آبیاری، دانشکده کشاورزی، دانشگاه بوعالی سینا

عادل قاسمی - دانشجوی کارشناسی ارشد رشته آبیاری و زهکشی، گروه مهندسی آبیاری، دانشگاه بوعالی سینا

پذیرش مقاله: ۱۳۸۸/۹/۲۶ تأیید مقاله: ۱۳۸۹/۸/۱

چکیده

کشور ایران دارای اقلیم خشک و نیمه‌خشک است که ریزش‌های کم‌جوی، رگبارهای شدید، وقوع جریان‌های سیلانی و تبخیر (تبخیر تعرق) زیاد از ویژگی‌های آن به شمار می‌آید. پژوهش حاضر سعی در ارزیابی و پهنه‌بندی تبخیر تعرق گیاه‌مرجع (ET_g) و ارائه آن در قالب نقشه‌های پهنه‌بندی و هم‌تبخیر تعرق (مرجع) به عنوان ابزاری اساسی برای مدیریت آب دارد. در این پژوهش با گروه‌بندی مناطق هم‌اقلیم براساس اقلیم‌نمای یونسکو از میانگین‌های درازمدت متغیرهای اقلیمی ۹۱ ایستگاه هواشناسی و داده‌های لایسیمتر، برای تعیین روش مناسب تخمین ET استفاده شد. تبخیر تعرق گیاه‌مرجع برمنای اطلاعات اقلیمی هر یک از ایستگاه‌ها به کمک نرم‌افزار RefET به ۱۳ روش محاسبه شد. روش‌های محاسباتی شامل هفت روش ترکیبی برایه روش پمن، دو روش دمایی، سه روش تشبعی - دمایی و یک روش تشبعی بودند. مناسب‌ترین روش محاسباتی از بین ۱۳ روش، در مقایسه با مقادیر تبخیر تعرق لایسیمتری در هر اقلیم مرباعت خط (RMSE) و میانگین خطای اریبی (MBE) صورت گرفت. مقادیر ضریب تبیین (R²)، جذر میانگین مرباعت خط (RMSE) و میانگین خطای اریبی (MBE) در ۹ در MBE و R² در ۹ ایستگاه لایسیمتری به ترتیب ۱/۱ میلی‌متر در روز، ۰/۲۳ میلی‌متر در روز و ۰/۸۵ به دست آمد، که نشان‌دهنده دقیق‌ترین روش ایستگاه از روش ایستگاه ایلیکلیم است. در نهایت هر یک از روش‌های محاسباتی انتخاب شده، برای سایر ایستگاه‌های هم‌اقلیم فاقد مقادیر لایسیمتری مبنای برآورد ET_g قرار گرفتند. نتایج نشان داد که روش‌های با پایه پمن در اکثر مناطق ایران مناسب‌ترین روش برای برآورد ET_g به شمار می‌آیند. در ترسیم نقشه هم‌تبخیر تعرق مرجع (ISOET_g) و پهنه‌بندی آن براساس نقشه‌های توپوگرافی رقومی شده، اطلاعات جغرافیایی ایستگاه‌های هواشناسی و بهره‌گیری از نرم‌افزارهای GIS و Surfer براساس داده‌های تبخیر تعرق روزانه صورت گرفت. نتایج پهنه‌بندی به روش کریجینگ، نشان داد میزان ET_g در ۲۳ درصد از سطح ایران که در مناطق مرتفع شمال کشور قرار دارند، کمتر از ۴/۴۸ میلی‌متر در روز است؛ و در مقابله ۷۷ از سطح کشور در پهنه ET_g بیش از این مقدار تا سقف ۱۰/۷۰ میلی‌متر در روز قرار دارد. به نظر می‌رسد که پراکنش مناسب زمانی و مکانی بارش‌های مناطق شمالی، رطوبت نسبتاً بالا و برودت هوا در کاستن از پتانسیل تبخیر تعرق این مناطق نقش اساسی دارد. در مجموع وجود بی‌نظمی و نوسانات زیاد در سری‌های زمانی بارندگی سالانه از عوامل اصلی کمبود منابع آب و به تبع آن افزایش تبخیر تعرق در مناطق خشک و نیمه‌خشک ایران است.

کلیدواژه‌ها: تبخیر تعرق مرجع، پمن، پهنه‌بندی، کریجینگ، ایران.

مقدمه

یکی از راههای کاهش بحران آب در کشاورزی به واسطه پایین بودن راندمان مصرف آن و استفاده بیش از حد منابع موجود، مدیریت آب در تأمین نیاز آبی گیاهان زراعی است. در این زمینه تبخیر تعرق^۱، در واقع شاخص تعیین‌کننده‌ای در فرایند رشد است که معادل آب مورد نیاز گیاهان زراعی قلمداد می‌شود. به همین خاطر تخمین دقیق آن با توجه به شرایط آب‌وهوایی هر منطقه و گیاه صورت می‌گیرد. لحاظ عوامل جوئی و فیزیولوژی گیاه در فرایند تبخیر تعرق سبب پیچیدگی این فرایند و ارائه روش‌های بسیاری برای تخمین آن شده است (کوچکزاده و بهمن، ۱۳۸۴، ۸۸). لایسیمتر تنها روش مستقیم برآورد تبخیر تعرق است. هر چند هزینه سنگین نصب و نگهداری، استفاده از آن را مشکل ساخته است، لیکن به هر حال معتبرترین روش در واستجی مدل‌های تبخیر تعرق است. تا کنون بیش از ۵۰ روش تخمین تبخیر تعرق گیاه‌مرجع^۲ (ET₀) در قالب روش‌های ترکیبی، آثرو‌دینامیک و تجربی ارائه شده است، که اغلب با توجه به داده‌های هواشناسی نتایج متفاوتی دارند (گریسمر و همکاران، ۲۰۰۲، ۱۸۰). روش مناسب تعیین ET₀ در هر منطقه بستگی به شرایط اقلیمی، داده‌های مورد نیاز و هزینه‌های مربوط به آن دارد (سبزی‌پور و همکاران، ۱۳۸۷، ۳۲۹). سالیه و سندیل (۱۹۸۳) روش جنسن هیز را برای کالیبره کردن روابط تجربی در مناطقی با اقلیم خشک مثل عربستان سعودی مناسب دانستند.

در مطالعه‌ای دیگر، روش جنسن هیز و هارگریوز برای اقلیم‌های خشک و نیمه‌خشک پیشنهاد گردید (ایرماک و همکاران، ۲۰۰۳، ۳۳۶). دهقانی سانیج و همکاران (۲۰۰۴) مدل پنمن مانتیث و پنمن را به ترتیب برای یک نمونه اقلیمی نیمه‌خشک در ایران و اقلیم مرطوب در ژاین برمبنای مقادیر لایسیمتری معرفی کردند. تبخیر تعرق روزانه گیاه‌مرجع از روش‌های هارگریوز سامانی، ماکینگ، تورک و پاپاداکیس برای اقلیم‌های مختلف ایران براساس اقلیم‌نمای کوپن محاسبه گردید و با روش استاندارد پنمن مانتیث فائق مقایسه شد (کوچکزاده و نیک‌بخت، ۱۳۸۳، ۴۳). نتایج آنان نشان داد که روش هارگریوز سامانی در اقلیم‌های خشک بیابانی، نیمه‌خشک و مدیترانه‌ای؛ روش تورک در اقلیم‌های فراخشک، مرتبط و خیلی مرتبط نوع (ب)؛ و روش مکینگ در اقلیم خیلی مرتبط نوع (الف) مناسب است. در مقیاس ماهانه نیز روش هارگریوز سامانی در اقلیم‌های خشک بیابانی و نیمه‌خشک؛ روش مکینگ در اقلیم‌های مدیترانه‌ای مرتبط، خیلی مرتبط نوع (الف)، خیلی مرتبط نوع (ب)؛ و روش تورک در اقلیم فراخشک مناسب تشخیص داده شد. دین پژوه (۲۰۰۶) براساس شاخص خشکی سه روش هارگریوز سامانی، لینیاکر و ترننت وایت اصلاح شده، ET₀ در سطح ایران را مورد مطالعه قرار داد. وی برای غرب و شمال غرب کشور روش هارگریوز سامانی، برای شمال و شمال شرق روش ترننت وایت، و در مرکز و جنوب شرق کشور روش لینیاکر را پیشنهاد کرد. در عین حال محققان زیادی روش پنمن مانتیث را به دلیل جامع بودن آن، به عنوان روشی مناسب در بیشتر مناطق دنیا پیشنهاد داده‌اند که حاصل آن در مطالعات سان و سونگ (۲۰۰۸)، رحیمی خوب (۲۰۰۸)، گانگ و همکاران (۲۰۰۶) و دیگران منتشر شده است.

1. Evapotranspiration

2. Refrence evapotranspiration

به طور کلی دقت و اعتبار هر تخمینی بستگی به کیفیت و کمیت پارامتر مورد سنجش دارد. پارامتر تبخیر تعرق تنها پارامتر قابل اندازه‌گیری (به طور مستقیم) است که اگر این کار به شکلی دقیق صورت گرفته باشد، با موضوع کیفیت داده‌ها مشکلی نخواهد داشت. از طرف دیگر، تراکم اندازه‌گیری‌ها می‌تواند بسیار مورد توجه باشد، زیرا داشتن تراکم بسیار زیاد شبکه لایسیمتری، موجب افزایش وقت و هزینه‌های اندازه‌گیری می‌شود. به هر حال عدم تراکم لازم در اندازه‌گیری‌های لایسیمتری، می‌تواند به فقدان اطلاعات کافی دامن زند. بنابراین هدف از انجام این تحقیق بسط و توسعه اندازه‌گیری‌های تبخیر تعرق با استفاده از روش‌های زمین‌آماری است، تا جایی که بتوان با به کارگیری شبکه موجود، به اندازه زیادی از میزان وقت و هزینه ایجاد شبکه‌های لایسیمتری کاست. تحقیقات نشان داده است که تبخیر تعرق به عنوان متغیری اقلیمی، از خصوصیات منطقه‌ای و ویژگی‌های ذاتی آنها تأثیر می‌پذیرد (ماردیکیس و همکاران، ۲۰۰۵، ۲۵۲). در این گونه مطالعات اگر از آمار کلاسیک استفاده شود، برای نتیجه‌گیری بهتر و کاهش واریانس بین نمونه‌ها از روش‌های افزایش تعداد نمونه‌ها استفاده می‌شود.

روش‌های زمین‌آماری با پهنه‌بندی مناسب می‌توانند تخمین صحیحی از توزیع مکانی ET_0 را در پهنه‌ای وسیع به کمک تکنیک درون‌یابی به دست دهند (ماردیکیس و همکاران، ۲۰۰۵، ۲۵۳). کاربرد تکنیک زمین‌آمار با تأکید بر توصیف‌های کمی تنوع مکانی و ویژگی‌های اقلیمی برای درون‌یابی داده‌ها و نقشه‌سازی است. مطالعات زیادی در به کارگیری روش زمین‌آمار برای تخمین توزیع مکانی پارامترهای اقلیمی صورت گرفته است، که همگی در جهت تأیید توانایی و دقت آن بوده‌اند (فیلیپس و مارکس، ۱۹۹۶، ۲۱۳؛ اشرف و همکاران، ۱۹۹۷، ۲۵۵). از آن جمله می‌توان به مطالعه ماردیکیس و همکاران (۲۰۰۵) اشاره داشت که از چهار روش مختلف درون‌یابی شامل کریجینگ معمولی و اصلاح شده، معکوس مجدد فاصله معمولی و اصلاح شده، برای پهنه‌بندی تبخیر تعرق گیاه‌مرجع مناطق مختلف یونان استفاده کردند. نتایج این مطالعه نشان از آن داشت که پارامتر ارتفاع در افزایش دقت پهنه‌بندی هر یک از روش‌ها نقش اساسی دارد.

ساوانو و همکاران (۲۰۰۷) با استفاده از مدل پریستلی تیلور، موفق به تخمین تبخیر تعرق پوشش‌های جنگلی در حوضه آبریز رودخانه مکونگ^۱ (ژاپن) شدند و در نهایت آن را پهنه‌بندی کردند. نتایج آنها نشان داد که مدل به کار گرفته شده توانایی برآورد تبخیر تعرق در وسعت‌های زیاد با ارتفاعات مختلف از پوشش‌های جنگلی را دارد. لین و همکاران (۲۰۰۸) ضمن نشان دادن توانایی شبکه عصبی فازی در برآورد تبخیر تعرق گیاه‌مرجع در مقایسه با روش پنمن مانتیث فائو ۶۵، اقدام به پهنه‌بندی آن برای حوزه رودخانه دان‌شیو^۲ (تایوان) کردند. نتایج آنان نشان داد که برآوردهای حاصل از پهنه‌بندی در مناطق فاقد اندازه‌گیری می‌تواند پذیرفتی باشد.

هدف اصلی تحقیق، تعیین تبخیر تعرق مناطق مختلف اقلیمی در سطح کشور ایران، براساس ارقام لایسیمتری است. هدف دیگر آن، نشان دادن پتانسیل تکنیک زمین‌آمار به عنوان روشی نو در تحقیق نیاز آبی گیاهان زراعی است.

1. Mekong Basin River

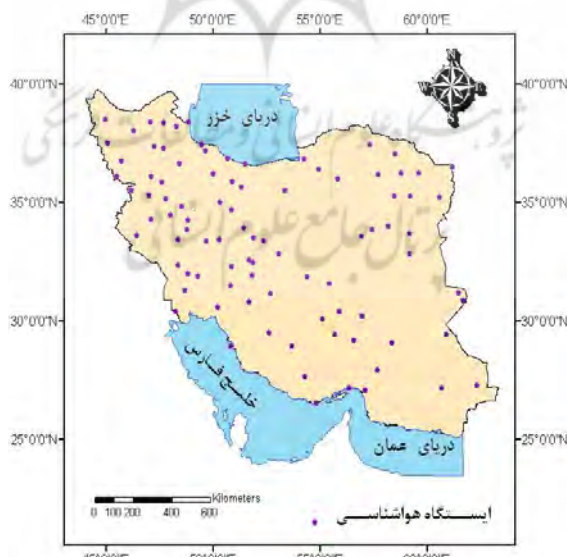
2. Dan-Shui basin

مواد و روش‌ها

ایران با وسعتی حدود ۱۶۴۸۰۰۰ کیلومترمربع و متوسط بارش سالانه ۲۴۱ میلی‌متر در نیم‌کره شمالی، در قاره آسیا و در قسمت غربی قلات ایران واقع شده است. این کشور بین دو نصف‌النهار 44° و 64° شرقی و دو مدار 25° و 40° شمالی قرار گرفته است. حدود ۹۴/۸ درصد از سطح آن، در زمرة مناطق خشک و نیمه‌خشک با ریزش‌های جوی کم و تبخیر (تبخیر تعرق) زیاد قرار دارد (غفاری و همکاران، ۱۳۸۳، ۳۲). در انجام این پژوهش، مراحل زیر برای انتخاب روش مناسب تبخیر تعرق در هر اقلیم، تهیه نقشه پهنه‌بندی تبخیر تعرق منطقه و تعیین نقاط هم‌تبخیر تعرق انجام شد:

ابتدا آمار هواشناسی ایستگاه‌های سازمان هواشناسی با طول دوره آماری از بدرو تأسیس تا سال ۲۰۰۰ میلادی انتخاب گردید. با توجه به اینکه بسیاری از متغیرهای اقلیمی دارای یک کمینه و بیشینه در طی سال‌اند؛ یعنی در نیمه اول و دوم سال رفتاری کاملاً متفاوت دارند، بنابراین در بررسی حاضر داده‌های هواشناسی به ترتیب ماه‌های سال دسته‌بندی شدند. سپس خلاً آماری هر ایستگاه مشخص گردید و بازسازی آماری آنها با رگرسیون‌گیری، نسبت به موقعیت ایستگاه‌های مجاور، انجام گرفت و ایستگاه‌های نهایی انتخاب شدند.

پس از بررسی‌های لازم، ۹۱ ایستگاه هواشناسی انتخاب گردید، که در تحلیل‌ها مورد استفاده قرار گرفتند. تمامی ایستگاه‌ها براساس اقلیمنمای یونسکو در ۶ اقلیم دسته‌بندی شدند: خیلی مرطوب^۱ خنک^۲ گرم^۳ (PH-C-W)، نیمه‌خشک سرد گرم (SA-K-W)، نیمه‌خشک خنک خیلی گرم (SA-C-VW)، خشک خنک گرم (A-C-W)، خشک معتدل گرم (A-C-VW) و خشک خنک خیلی گرم (A-M-W) (غفاری و همکاران، ۱۳۸۳، ۳۱ و ۳۲). شکل ۱ موقعیت ایستگاه‌های انتخابی را در سطح کشور ایران نشان می‌دهد.



شکل ۱. موقعیت جغرافیایی ایستگاه‌های هواشناسی

۱. رژیم رطوبتی
۲. نیپ زمستانه
۳. نیپ تابستانه

در ادامه، ET_0 برای ۹۱ ایستگاه انتخابی در شبکه ایستگاه‌های سازمان هواشناسی کشور طبق روش‌های عنوان شده، در نرم‌افزار Ref-ET محاسبه شد (آلن و همکاران، ۱۹۹۸). نرم‌افزار مذکور در سال ۲۰۰۱ در دانشگاه آیداهو براساس دستورالعمل نشریه فائو ۵۶ (آلن و همکاران، ۱۹۹۸) تهیه شد که توانایی به کارگیری طیف وسیعی از داده‌های هواشناسی را، به عنوان ورودی برای محاسبه ET_0 به روش‌های مختلف، در خود دارد (فونتنت، ۲۰۰۴، ۴۰). روش‌های محاسباتی با توجه به نوع داده‌های ورودی (دما، رطوبت نسبی، سرعت باد، میزان بارندگی و مختصات جغرافیایی و ارتفاع هر ایستگاه) شامل ۷ روش ترکیبی بر پایه پنمن، ۲ روش دمایی، ۳ روش ترکیبی تشبعی - دمایی، و یک روش تشبعی بودند.

فرض همبستگی بین تبخیر تعرق و متغیرهای هواشناسی با توجه به تحقیقات آیتك (۲۰۰۸)، کمار و همکاران (۲۰۰۲)، لین و همکاران (۲۰۰۸) و ادھیامیو و همکاران (۱۰۹۱) پذیرفته شده است. روش‌های پنمن مانتیث فائو ۵۶ (PMF56)، پنمن مانتیث فائو سازمان عمران امریکا (PMASCE)، کیمبرلی پنمن ۱۹۹۶ (KP1996)، کیمبرلی پنمن ۱۹۷۲ (KP1972)، پنمن فائو ۲۴ (PenF24)، پنمن فائو ۱۷ (PenF17)، پنمن ۱۹۴۸ (Pen1948) در قالب روش‌های ترکیبی، دو روش هارگریوز سامانی (HgS1985) و بلانی کریدل فائو ۲۴ (BC24) به عنوان روش‌های دمایی، روش‌های ترکیبی تشبعی - دمایی نیز شامل پریستلی تیلور (Prs-Tylr)، مکینگ (Makk 1957) و تورک (Turc 1961) در کنار روش تشبعی فائو (RdF24) به عنوان تنها روش‌های تشبعی بودند. با تنظیم داده‌های هواشناسی مورد نیاز برای هر یک از روش‌ها در قالب سری داده‌ها در محیط نرم‌افزار Ref-ET و اجرای آن، تبخیر تعرق به روش‌های مختلف برای هر اقلیم محاسبه شد. برای آزمون مدل‌های پیشنهادی در هر اقلیم، از یک الی دو سری اطلاعات لاپسیمتری برگرفته از منابع معتبر علمی و مراکز تحقیقاتی و آموزشی مناطق همدان، ارومیه، کرج، مشهد، کبوترآباد (اصفهان)، کرمان، رشت، زهک (سیستان بلوچستان) و اهواز استفاده شد (قاسمی، ۱۳۸۷، ۶۳؛ شعیب و مجذزاده، ۱۳۸۷، ۴۵). محصول کشت شده در هر یک از لاپسیمترها گیاه چمن و اندازه‌گیری‌ها به صورت روزانه بود. جدول ۱ متوسط مقادیر کمینه، بیشینه، میانگین اطلاعات هواشناسی و لاپسیمتری را به تفکیک اقلیم‌بندی نشان می‌دهد.

برای ارزیابی دقت و سنجش صحت نتایج به دست آمده، معمولاً میزان تطابق بین مقادیر اندازه‌گیری از لاپسیمتر و برآورد شده از روش‌های مختلف مورد بررسی قرار می‌گیرد. آماره‌های مشابهی برای سنجش اعتبار و درستی مدل‌ها وجود دارد که از بین آنها می‌توان به ضریب تبیین^۱ (R^2)، ریشه میانگین مربعات خطاهای^۲ (RMSE)، و میانگین خطای اریبی^۳ (MBE) اشاره کرد (جاکوویدز، ۱۹۹۷، ۹۶). براساس آماره‌های یاد شده، مناسب‌ترین روش در هر اقلیم پیشنهاد گردید و به عنوان روش مبنا برای سایر ایستگاه‌های هم‌اقلیم فاقد مقادیر لاپسیمتری در نظر گرفته شد.

1. Coefficient of determination

2. Root Mean Square Error

3. Mean Bias Error

جدول ۱. متوسط مقادیر پارامترهای هواشناسی ایستگاه‌های هم‌اقلیم و تبخیر تعرق گیاه‌مرجع لایسیمتر

تبخیر تعرق گیاه مرجع	بارندگی ماهانه	سرعت باد دو متری	رطوبت نسبی (درصد)	دما (°C)			نقشه شبیم	توصیف	اقلیم
				حداقل	حداکثر	حداقل			
(mm d ⁻¹)	(mm)	(ms ⁻¹)							
۰/۷۸	۰	۰	۷	۸	-۱۱/۸	-۲۳/۲	-۱۶/۹	کمینه	SA-K-W
۷/۳۶	۳۳۵/۴	۹/۵۱	۹۹	۹۹	۳۹/۸	۳۴/۸	۱۶/۳	بیشینه	
۴/۲۱	* ۳۴۵/۴۶	۲/۰۹	۶۸/۹	۴۱/۶	۱۸/۰۲	۵/۹۵	۱/۳۳	میانگین	
۳/۹۸	۰	۰	۶	۳	-۶/۸	-۱۲/۸	-۱۵/۸	کمینه	A-C-W
۱۰/۳۶	۳۹۹/۶	۹/۱۵	۹۵	۹۲	۴۱/۲	۴۰	۲۲/۵	بیشینه	
۷/۸۵	* ۱۷۱/۳۶	۲/۴۵	۵۳/۸۵	۲۷/۴۴	۲۲/۶	۱۰/۲۵	۰/۴۴	میانگین	
۲/۱۶	۰	۰/۱	۸	۵	۰/۲	-۰/۷	-۱۱/۸	کمینه	A-M-W
۱۶/۴۶	۳۶۸/۴	۸/۱۷	۹۸	۹۹	۴۸/۵	۴۸/۵	۲۹/۵	بیشینه	
۸/۷۹	* ۲۲۶/۸	۲/۶۷	۵۶/۲	۴۳/۰۴	۲۸/۰۹	۲۲/۹	۱۱/۶	میانگین	
۲/۱۵	۰	۰	۶	۱۶	-۷/۸	۳/۱	-۱۲/۱	کمینه	A-C-VWW
۱۹/۹۳	۱۰۵/۹	۲۱/۳۸	۷۲	۹۵	۳۰/۶	۴۵	۱۷/۵	بیشینه	
۹/۴۱	* ۸۹/۶۴	۲/۴۷	۲۳/۸۹	۵۲/۰۳	۱۳/۲	۲۷/۶	۲/۸	میانگین	
۰/۴۶	۰	۰	۶	۱۵	-۱۷/۲	-۳/۹	-۱۳/۳	کمینه	SA-C-VWW
۸/۴۳	۵۱۵/۷	۶/۱۷	۸۶	۹۹	۲۵/۸	۴۲/۸	۲۳/۱	بیشینه	
۴/۱۲	* ۴۴۱/۶	۱/۹۸	۳۳/۳	۶۷/۲	۸/۳	۲۲/۹	۲/۷	میانگین	
۳/۴۳	۰	۰	۴۴	۷۹	-۷/۲	۳/۸	-۱/۸	کمینه	PH-C-W
۵/۶۲	۹۶۰	۴/۷	۹۱	۱۰۰	۲۵/۴	۳۲/۹	۲۴/۸	بیشینه	
۴/۷۶	* ۱۴۷۷/۱	۱/۵۷	۷۲/۸	۹۲/۰۶	۱۲/۸	۱۸/۹۵	۱۲/۸	میانگین	

* بارش سالانه

داده‌های اقلیمی عمده‌ای به صورت نقطه‌ای (مشاهدات ایستگاهی) اندازه‌گیری می‌شوند؛ این در حالی است که غالباً به اطلاعات در بازه یک پهنه نیاز است. طبیعت مشاهدات نقطه‌ای به گونه‌ای است که با افزایش تعداد ایستگاه‌ها، تعمیم آن به یک پهنه با خطای کمتری همراه است. به طور کلی نتایج تجزیه و تحلیل اقلیمی و موارد مشابه را زمانی می‌توان به پهنه‌های بزرگ‌تر تعمیم داد که میان‌یابی به عنوان مرحله‌ای ضروری در تبدیل داده‌های نقطه‌ای به پهنه‌ای پذیرفته شود (ماردیکیس و همکاران، ۵، ۲۰۰۵، ۲۵۳). شبکه مورد بررسی با در نظر گرفتن فواصل 6×6 کیلومتر، از ۴۵۷۷۸ سلول با طول و عرض مشخص تعیین شد و مقادیر تبخیر تعرق به روش کریجینگ در روش هر سلول برآورد گردید. انتخاب طول و عرض شبکه با توجه به آنالیز تغییرنما در محیط نرم‌افزار ArcView است (سانتیو و همکاران، ۲۰۰۸، ۲۴۹۷ و ۲۴۹۸). روش اجرایی تغییرنما با محاسبه حداقل مجموع مربع انحرافات بود (پارادوایگیز کویزا و داود، ۱۹۸۸، ۲۱۵). به دیگر عبارت، ابتدا داده‌های مربوط به انحراف آماری متغیرها در فواصل و جهات متفاوت نسبت به نقطه کنترل به صورت مجموعه‌ای از فاکتورهای وزن دار با حداقل خطا در تخمین مقادیر نقطه‌ای تولید گردید و پس از آن اقدام به تخمین ET_{H} به روش کریجینگ شد. از تخمین گر کریجینگ برای برآورد تبخیر تعرق براساس مقدار محاسبه شده در نقاط با مختصات معلوم استفاده شد. کریجینگ به عنوان بهترین تخمین گر نالریب^۱ (BLUE) بر منطق میانگین متحرک وزنی

استوار است (حبشی و همکاران، ۱۳۸۶، ۲۲-۲۴). در تخمین‌گر کریجینگ، مقادیر برآورده تبخیر تعرق از مجموع حاصل ضرب یک فاکتور وزنی در مقادیر مشاهداتی آن با استفاده از فرمول زیر به دست می‌آید:

$$ET_{\circ}^*(x_i) = \sum_{i=1}^n \lambda_i ET_{\circ}(x_i) \quad (1)$$

که در آن $ET_{\circ}^*(x_i)$ مقدار تبخیر تعرق مورد تخمین، $ET_{\circ}(x_i)$ تبخیر تعرق نمونه i ام، و λ_i وزن یا اهمیت تبخیر تعرق وابسته به نمونه i ام و بیان گر اهمیت نقطه i ام در برآورد است. از آنجا که شرط استفاده از این تخمین‌گر نرمال بودن متغیر مورد بررسی (ET_{\circ}) است، لذا از آزمون کولموگراف-اسمیرنوف^۱ برای این منظور استفاده شد. در نهایت پس از وارد کردن مشخصات ایستگاه‌ها شامل نام ایستگاه، طول و عرض جغرافیایی و تبخیر تعرق محاسباتی به محیط نرم‌افزار GIS، پهنه‌بندی انجام گرفت. گروه‌بندی ET_{\circ} در مناطق مختلف بر اساس پیشنهاد مدلی مناسب از ET_{\circ} است که در هر اقلیم براساس کمترین اختلاف با مقادیر لاپسیمتری حاصل شده است.

با بررسی توزیع مکانی اطلاعات تبخیر تعرق ۹۱ ایستگاه مورد مطالعه و استفاده از مقادیر رقومی مرزها، داده‌های متغیرهای داخل مرزها به کل کشور تعیین داده شد. ترسیم خطوط هم‌تبخیر تعرق مرجع ($ISOET_{\circ}$) در نرم‌افزار Surfer با استفاده از ترکیب داده‌ها ET_{\circ} و اطلاعات جغرافیایی هر ایستگاه انجام گرفت.

یافته‌های تحقیق

در این پژوهش تبخیر تعرق گیاه‌مرجع، از ۱۳ روش تعریف شده در نرم‌افزار Ref-ET برای محاسبه تبخیر تعرق گیاه‌مرجع استفاده شد. نتایج تبخیر تعرق محاسباتی از روش‌های محاسباتی مختلف در مقایسه با مقادیر اندازه‌گیری شده از لاپسیمتر در اقلیم‌های متفاوت در جدول ۲ درج شده است. جدول ۲ ارزیابی از کارایی هر یک از روش‌های پیشنهادی در قالب سه پارامتر آماری نشان داده شده است. ریشه میانگین مربع خطا (RMSE) میان اختلاف بین سطوح تبخیر تعرق اندازه‌گیری شده و تخمینی، میانگین خطای اریبی (MBE) بیان گر مقادیر خطای بیش برآورد یا کم برآورد و ضریب کارایی (R^2) براساس نه ایستگاه لاپسیمتری است. جدول ۲ نشان می‌دهد که روش‌های مبتنی بر مدل پنمن در ۵/۵ درصد از موارد به عنوان روش مطلوب در رتبه اول در مقایسه با دیگر روش‌ها قرار دارد. از دیگر نتایج جدول ۲ می‌توان به مطلوبیت هر یک از دو مدل بلانی کریدل (BC) و هارگریوز سامانی (HgS) در ۲/۲۲ درصد از موارد - از جمله برای دو منطقه همدان و ارومیه - اشاره کرد. بر مبنای داده‌های لاپسیمتری، در مناطق نیمه‌خشک مانند کرج و مشهد، روش بلانی کریدل مناسب ارزیابی شد. در این خصوص فونتنت (۲۰۰۴) استفاده موفقیت‌آمیز از این روش را در مناطق خشک و نیمه‌خشک امریکا گزارش کرده است.

جدول ۲. مقادیر خطای ET_0 برآورده شده با مدل‌های مختلف در مقایسه با داده‌های لایسیمتری

اقليم	ایستگاه‌های لایسیمتری	R ²	RMSE (mm d ⁻¹)	MBE (mm d ⁻¹)	روش برگزیده	شکل ریاضی مدل پیشنهادی *
SA-K-W	همدان	۰/۸۶	۰/۸۳	۰/۱۲	HgS1985	$ET_{0\text{HgS}} = 0.0162 (k_T) \cdot R_A \cdot TD^{0.5} (T + 17.8)$
	ارومیه	۰/۶۲	۱/۲۰	۰/۰۶	HgS1985	
A-C-W	کبوترآباد	۰/۸۵	۰/۸۵	-۰/۵۱	Pen1948	$ET_{0\text{Pen1948}} = \frac{\Delta R_n + \gamma E_a}{\Delta + \gamma}$
	کرمان	۰/۸۷	۱/۲۴	-۰/۸۴	Pen1948	
PH-C-W	رشت	۰/۷۶	۰/۴۲	۰/۰۶	PenF24	$ET_{0\text{PenF24}} = C \left[\frac{\Delta}{\Delta + \gamma} R_n + \frac{\gamma}{\Delta + \gamma} (0.27)(1 + 0.01 U_{2m}) (e_{sa} - e_a) \right]$
A-M-W	اهواز	۰/۹۳	۱/۴۳	-۰/۴۱	PMF56	$ET_{0\text{PMF56}} = \frac{0.408 (R_n - G) + \gamma \frac{900}{T + 237} U_2 (e_s - e_a)}{\Delta + \gamma (1 + 0.34 U_2)}$
A-C-VW	زهک	۰/۸۸	۲/۴۵	-۰/۸۷	PMF56	$ET_{0\text{BC24}} = a + b (p (0.46 T + 8.13))$
	کرج	۰/۹۶	۰/۰۹	-۰/۶۶	BC24	
SA-C-VW	مشهد	۰/۹۱	۱/۳۵	۰/۹۷	BC24	-----
	میانگین	--	۰/۸۵	۱/۱	-۰/۲۳	

برای توضیحات کامل مدل‌های پیشنهادی، ن.ک. مراجع تفضیلی (۱۳۸۵) و قاسمی (۱۳۸۷).

در مجموع، یکسان بودن روش‌های برآورد تبخیر تعرق پیشنهادی برای دو منطقه مکانی متفاوت ولی هم‌اقليم مثل همدان با ارومیه، کبوترآباد (اصفهان) با کرمان و مشهد با کرج، دلالت بر آن دارد که روش‌های پیشنهاد شده برای مناطق هم‌اقليم صحیح است (جدول ۲).

نتایج آزمون روش‌های تبخیر تعرق برگزیده برای هر اقلیم در جدول ۲ در سایر ایستگاه‌های هم‌اقليم طبق جدول ۱ اجرا گردیده و در جدول‌های ۳، ۴، ۵، ۶، ۷ و ۸ آورده شده است. نتایج این آزمون نشان می‌دهد که بیشترین مقدار تبخیر تعرق در ایستگاه‌های زهک و زابل و کمرتین مقدار تبخیر تعرق در ایستگاه‌های ناحیه شمالی کشور – یعنی بندر انزلی و نوشتر و رشت – برقرار است. در مطالعات دانشکار آراسته و همکاران (۱۳۸۳) زیاد بودن تبخیر به واسطه گرم بودن هوای وجود اثر واحدهای هم‌گزارش شده است، که همسو با نتایج مطالعه حاضر است.

جدول ۳. میانگین تبخیر روزانه ایستگاه‌های با اقلیم SA-K-W (میلی‌متر بر روز)

تبخیر تعرق (ET_0)	ایستگاه	تبخیر تعرق (ET_0)	ایستگاه
۳/۵۹	ملایر	۲/۸۴	اهر
۳/۰۴	مراغه	۳/۴۳	الیگودرز
۳/۷۱	مریوان	۲/۷۶	اردبلل
۲/۵۵	مشکین شهر	۳/۰۲	بیجار
۳/۵۱	میانه	۳/۳۵	بنجورد
۳/۰۶	ارومیه	۳/۶۹	قره‌بین
۳/۸۴	سنندج	۳/۱۷	قروه
۳/۸	شهرکرد	۳/۲۹	قوچان
۳/۰۵	تبریز	۳/۴۸	گلپایگان
۳/۱۳	تکاب	۳/۶۲	همدان
۳/۳۳	زنجان	۳/۲۶	خوی
		۳/۲۸	مهاباد

جدول ۴. میانگین تبخیر روزانه ایستگاه‌های با اقلیم A-C-W (میلی‌متر بر روز)

تبخیر تعرق (ET_0)	ایستگاه	تبخیر تعرق (ET_0)	ایستگاه
۴/۷۴	نظرن	۵/۷۵	آباده
۴/۲۲	نیشاپور	۸	اردستان
۸/۳۳	رفسنجان	۵/۷۳	بافت
۶/۹۹	سیزووار	۵/۸۸	بیارجمند
۵/۷۶	ساوه	۶/۵۲	بیرجند
۴/۶۲	سمنان	۵/۵۷	اصفهان
۶/۳۷	شهریابک	۵/۸	فسا
۵/۸۱	شهر رضا	۵/۹۲	فرودوس
۴/۹۱	شهرهود	۵/۹۵	قائمن
۶/۳۱	سیرجان	۴/۶۸	کبوترآباد (اصفهان)
۶/۰۴	تهران	۴/۲۷	کاشمر
۷/۱۵	تریت جام	۷/۰۳	کرمان
۷/۵۱	Zahedan	۶/۸۲	نائین

جدول ۵. میانگین تبخیر روزانه ایستگاه‌های با اقلیم A-M-W (میلی‌متر بر روز)

تبخیر تعرق (ET_0)	ایستگاه	تبخیر تعرق (ET_0)	ایستگاه
۷/۳	ایرانشهر	۸/۲۹	آبادان
۶/۹۱	کفنج	۸/۰۵	اهواز
۶/۸۹	لار	۵/۷۴	بندر عباس
۶/۹۴	مسجدسلیمان	۵/۸۴	بندر لنگه
۵/۴۵	میناب	۶/۶۵	بهبهان
۸/۴۳	سرavan	۵/۲	بوشهر
۹/۲۵	شوشتار	۶/۸۸	دزفول

جدول ۶. میانگین تبخیر روزانه ایستگاه‌های با اقلیم SA-C-VW (میلی‌متر بر روز)

تبخیر تعرق (ET_0)	ایستگاه	تبخیر تعرق (ET_0)	ایستگاه
۷/۳	لدگان	۴/۷۳	بروجرد
۶/۹۱	مشهد	۳/۱۶	گرگان
۶/۸۹	سردشت	۵/۰۴	ایلام
۶/۹۴	شیراز	۴/۶۲	کنگاور
۵/۴۵	تریت حیدریه	۴/۸۲	کرج
۸/۴۳	یاسوج	۵/۴۲	کرمانشاه
		۵/۳۸	خرم آباد

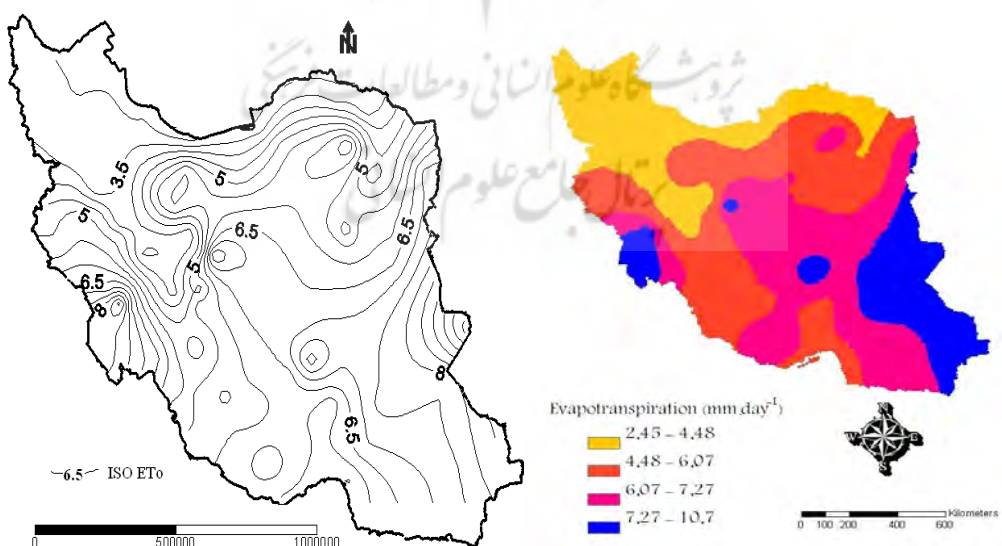
جدول ۷. میانگین تبخیر روزانه ایستگاه‌های با اقلیم A-C-VW (میلی‌متر بر روز)

تبخیر تعرق (ET_0)	ایستگاه	تبخیر تعرق (ET_0)	ایستگاه
۵/۷۲	سرخس	۶/۴۶	بافق
۵/۷۴	طبس	۷/۶۵	بم
۶/۹۵	بزد	۴/۷۳	بشرويه
۱۰/۳۴	زابل	۵/۹۹	قم
۱۰/۷۱	زهک	۳/۶۷	کاشان

جدول ۸. میانگین تبخیر روزانه ایستگاه‌های با اقلیم PH-C-W (میلی‌متر بر روز)

تبخیر تعرق (ET_0)	ایستگاه	تبخیر تعرق (ET_0)	ایستگاه
۲/۵۱	رامسر	۲/۵۱	آستانه
۲/۹۶	رشت	۲/۴۴	بندر انزلی
		۲/۵	نوشهر

از آنجا که تبخیر تعرق متغیری است پیوسته که به موقعیت جغرافیایی نقاط ایستگاهی وابسته است، لذا دارای پراکنش مکانی است؛ و این موضوع اهمیت مدیریت مکانی تبخیر تعرق را تأیید می‌کند. با توجه به همبستگی بالای تبخیر تعرق نسبت به مکان به دلیل تفاوت‌های اقلیمی هر ناحیه با ناحیه دیگر، تهییه نقشه تبخیر تعرق با دقت مناسب براساس نتایج حاصل از روش کریجینگ انجام شد. شکل ۳ (الف) پهنه‌بندی تبخیر تعرق را در منطقه مورد مطالعه نشان می‌دهد و براساس آن نقشه هم‌تبخیر تعرق منطقه ترسیم شده است (شکل ۳ ب).



شکل ۳. (الف) نقشه پهنه‌بندی تبخیر تعرق مرجع روزانه (سمت راست):

و (ب) نقشه هم‌تبخیر تعرق مرجع روزانه ($ISOET_0$) (سمت چپ)

شکل ۳ (الف) نقشه پهنه‌بندی تبخیر تعرق را در چهار کلاس نشان می‌دهد که براساس آن، حدود ۲۳ درصد از مساحت ایران در محدوده شمال و شمال غرب کشور دارای تبخیر تعرق کمتر از $4/48$ میلی‌متر در روز است. دین‌پژوه (۱۲۶، ۲۰۰۶) منطقه شمال را ناحیه‌ای مرطوب با میانگین بارش سالانه 1415 میلی‌متر در مقابل سایر نواحی ایران که از نظر اقلیمی خشک، نیمه‌خشک و فراخشک هستند معرفی کرده است. در کلاس چهارم تبخیر تعرق اگرچه از نظر مکانی دارای توزیع کمتر از سایر کلاس‌های است (حدود ۱۵ درصد)، لیکن در دو بخش شرق و غرب کشور استقرار دارد که می‌تواند به واسطه تعامل عوامل مؤثر بر تبخیر تعرق و قرار گرفتن این دو ناحیه در یک گروه باشد. لذا صحت پهنه‌بندی به واسطه قرار گرفتن بخش اعظمی از ایران در مناطق با بارش کم، تابش زیاد و پوشش گیاهی کم تأیید می‌گردد.

پژوهشگران مختلف تلاش‌های اندکی را به منظور تفکیک مناطق همگون تبخیر تعرقی انجام داده‌اند. این بررسی‌ها بیشتر بر استفاده از پارامترهای هواشناسی تکیه می‌کنند (دین‌پژوه، ۲۰۰۶، ۱۲۳)، که با تعریف تبخیر تعرق، که عبارت است از تعامل مجموعه متغیرهای اقلیمی و فیزیولوژی گیاهی در طی یک یا دو فصل زراعی، منافات دارد. این منافات به خوبی در ناحیه غربی شکل ۳ (الف) مشاهده می‌شود که کلاس تبخیر تعرق آن معادل شرق کشور است. این امر به دلیل عدم دسترسی به مقادیر تبخیر تعرق واقعی در هر دو ناحیه است که لزوم اندازه‌گیری‌های لایسیمتری در آن نواحی را نشان می‌دهد؛ زیرا برخی از متغیرهای اقلیمی و زراعی با تأثیر متقابل با سایر متغیرها، تأثیر جدی بر مجموعه تبخیر تعرق می‌گذارند.

با توجه به نقشه هم‌تبخير تعرق روزانه (ISOET_0) در شکل ۳ (ب)، بیشترین مقدار تبخیر تعرق پتانسیل روزانه کشور در جنوب غرب و در شرق در حدود $8/5$ میلی‌متر در روز است. این مقدار به سمت مرکز کشور اندکی کاهش می‌یابد و به حدود $6/5$ میلی‌متر می‌رسد و سپس به سمت نواحی مرتفع شمال و شمال غرب به مقدار 3 میلی‌متر در روز کاهش می‌یابد. افزایش تبخیر تعرق پتانسیل در عرض‌های جنوبی کشور می‌تواند ناشی از تابش زیاد خورشید و گرمایش سطح زمین به دلیل ضعف نسبی پوشش گیاهی باشد. همچنین عرض‌های جنوبی کشور در ارتفاع از سطح دریای کمتری نسبت به نیمه بالایی واقع است و بدین ترتیب کاهش تبخیر تعرق در نیمه بالایی را می‌توان ناشی از کاهش گرادیان دما نسبت به ارتفاع هم دانست که افزایش ارتفاع سبب بکاهش دما و به تبع آن کاهش تبخیر تعرق می‌شود. در ضمن، وجود دو رشته کوه البرز در امتداد شمال و رشته کوه زاگرس در امتداد شمال غرب و غرب کشور، در کاهش دما و افزایش رطوبت و به تبع آن کاهش تبخیر تعرق، مؤثرند (رضیئی و همکاران، ۱۳۸۴، ۸۲). با توجه به وسعت زیاد کشور ایران و محدود بودن تعداد ایستگاه‌های لایسیمتری، تخمین تبخیر تعرق در مدیریت آب در کشاورزی امری اجتناب‌ناپذیر است. بنابراین داشتن بهترین مدل برآورد تبخیر تعرق در نقاط مختلف و درون‌یابی آن با مناسب‌ترین روش، کمک زیادی به تخمین دقیق‌تر آن در نقاط فاقد اندازه‌گیری خواهد کرد.

نتیجه‌گیری

براساس نتایج این مطالعه، روش‌های مبتنی بر مدل پنمن در 5 درصد سطح ایستگاه‌های مورد مطالعه به عنوان بهترین روش برآورد ET_0 شناخته شد. مطلوبیت روش پنمن را می‌توان ناشی از بیشتر بودن پارامترهای تأثیرگذار هواشناسی در

میزان تبخیر تعرق در این مدل دانست (رحمی خوب، ۱۳۸۷، ۳۵). در این زمینه، محققان دیگر نیز دقیق روش پنمن ماننتیث و روش‌های مبتنی بر مدل پنمن را تأیید کردند (دهقانی سانیچ و همکاران، ۲۰۰۴، ۹۱؛ جنسن و همکاران، ۱۹۹۰ و فرشی و شریعتی، ۱۳۷۸). در ۲۲ درصد از ایستگاه‌ها نیز دو روش بلانی کریدل و هارگریوز سامانی مناسب تشخیص داده شد. بررسی‌های جزئی‌تر نشان داد که توصیه دو روش مذکور برای مناطق همدان و ارومیه با نتایج دینپژوه (۲۰۰۶) و تفضلی (۱۳۸۵) هم‌خوانی دارد و صحت نتایج را تأیید می‌کند. واقع شدن این مناطق در ارتفاعات بالا و صاف بودن هوا با توجه به فقدان ذرات آبروسل ناشی از آلودگی کمتر هوای موجب تأثیرپذیری تبخیر تعرق از عامل تشعشع می‌گردد که در مدل هارگریوز سامانی در نظر گرفته شده است. اهمیت پارامتر تابش برای فرایند تبخیر تعرق در مطالعات سبزی‌پرور و همکاران (۱۳۸۷) و ایروماک و همکاران (۲۰۰۳) آمده است. از طرفی، مطلوبیت روش بلانی کریدل برای منطقه اقلیم نیم‌خشکی چون مشهد و کرج به ترتیب در مطالعات علیزاده و میرشاهی (۱۳۸۰) و نساجی زواره و صادقی‌فر (۱۳۸۶) توصیه شده است، که با نتیجه تحقیق حاضر مبنی بر توصیه یک روش دمامبنا هم‌خوانی دارد.

انتخاب روش‌های مناسب براساس اجرای مدل‌های مختلف تخمین $_{\text{ET}}$ و مقایسه با مقادیر $_{\text{ET}}$ ثبت شده در ایستگاه‌های لاپسیمتری صورت گرفت. نتایج پهنه‌بندی در محیط نرم‌افزار GIS به روش کریجینگ نشان داد که حدود ۲۳ درصد از سطح کشور ایران در پهنه مقادیر کم $_{\text{ET}}$ و در مقابل ۷۷ درصد از سطح کشور با $_{\text{ET}}$ زیادی مواجه‌اند. مناطق دارای $_{\text{ET}}$ کمتر در نواحی کم‌ارتفاع و در دامنه‌های شمالی رشته‌کوه البرز در ناحیه جغرافیایی شمالی کشور قرار دارند. وجود رشته‌کوه البرز سبب توقف توده هوای مرطوب حاصل از دریای خزر در ناحیه شمالی کشور شده که زیادی رطوبت و وجود جنگلهای شمالی در کاهش تبخیر تعرق تأثیر دارند (رحمی‌زاده و خوشکام، ۱۳۸۲، ۵۵). افزون بر آن، بارش زیاد و دمای پایین نیز در تبخیر تعرق کمتر این ناحیه شمالی کشور مؤثر است (خدالقی و همکاران، ۱۳۸۵، ۴۷). در مقابل، پتانسیل تبخیر تعرق در ۷۷ درصد کشور بیش از ۴/۴۸ میلی‌متر است که می‌تواند ناشی از کاهش پوشش گیاهی به واسطه تقلیل بارش و برودت هوا، تأثیرگذاری دیگر عوامل اقلیمی در مقدار $_{\text{ET}}$ باشد (خدالقی و همکاران، ۱۳۸۵، ۴۷).

ترسیم نقشه‌های هم‌تبخیر تعرق مرجع (ISOET₀) در محیط نرم‌افزار Surfer نیز پتانسیل بیشتری از $_{\text{ET}}$ در نیمه جنوبی کشور را در مقابل نیمه شمالی نشان داد. در این زمینه دین‌پژوه (۱۳۸۶، ۲۰۰۴) پتانسیل تبخیر تعرق نیمه پایینی کشور را در قیاس با نیمه بالایی کشور بیشتر برآورد کرده است. به علاوه، سبزی‌پرور و شتاوی (۲۰۰۷) نیز روند افزایش مقدار تابش از ارتفاعات شمالی به سمت نیمه جنوبی کشور را تأیید کردند. از آنجا که پارامتر تابش خورشیدی یکی از فاکتورهای مهم و مؤثر در مقدار تبخیر تعرق است و ارتباط مستقیم با آن دارد (سبزی‌پرور و همکاران، ۱۳۸۷، ۳۲۱)، لذا نتیجه این تحقیق با مطالعه سبزی‌پرور و شتاوی (۲۰۰۷) و دین‌پژوه (۲۰۰۶) هم‌خوانی دارد.

در مجموع، آب کالایی ارزشمند برای کشور ایران و به‌ویژه در مناطق دارای پتانسیل بالای $_{\text{ET}}$ در عرصه کشاورزی و سایر بخش‌های مصرف‌کننده محسوب می‌شود. اجرای طرح‌های آبخیزداری و طرح‌های ذخیره‌سازی آب‌های سطحی با توجه به کمبود بارش و بالا بودن میانگین $_{\text{ET}}$ ضروری به نظر می‌رسد، به‌طوری که رضیئی و همکاران (۱۳۸۴) وجود بی‌نظمی و نوسانات زیاد در سری‌های زمانی بارندگی سالانه را عامل اصلی کمبود منابع آب و به تبع آن افزایش تبخیر تعرق در مناطق خشک و نیمه‌خشک ایران دانسته‌اند.

اعمال مدیریت مناسب بهره‌برداری بر منابع آب کشور می‌تواند از فشار و شدت برداشت منابع آبی کشور بکاهد. همچنین پیشنهاد می‌شود که در مطالعات تکمیلی، ضمن افزایش تراکم ایستگاه‌های هواشناسی و بهبود شبکه لایسیمتری، استفاده از اطلاعات ایستگاه‌های هواشناسی حاشیه خارجی مرزهای ایران در افزایش آگاهی از متغیرهای اقلیمی در سرحدات کشور نیز در دستور کار قرار گیرد. ناکافی بودن ایستگاه‌های هواشناسی در ناحیه شمال غرب، مرکز و جنوب شرق کشور به خوبی مشهود است. عدم کفايت ایستگاه‌های موجود در بررسی انجام شده از سوی عزیزی و روشنی (۱۳۸۷) و رحیم‌زاده و خوشکام (۱۳۸۲) هم گزارش شده است. بدون تردید، افزایش تراکم ایستگاه‌های هواشناسی و احداث ایستگاه‌های جدید در مناطق مختلف بهویژه در ارتفاعات، با توجه به تغییرات شدید ET_0 با ارتفاع، باعث دقت بیشتر پهنه‌بندی‌ها خواهد شد.

منابع

- Alizadeh, A. and Mirshahi, B. 2001, **Assessment Accuracy of Hargirivz Samani and Evaporation Pan Methods in Calculated Potential Evapotranspiration in Khorasan Province Synoptic Stations**, Journal of Scientific and Technical Meteorological Organization, 42(43): 51-70.
- Allen, R., Pereira, L., Raes, D., Smith, M., 1998, **Crop Evapotranspiration, FAO Irrigation and Drainage Paper 56. FAO**, Rome, Italy, 293 pp.
- Ashraf, M., Loftisa, Jim and Hubbard, K., 1997, **Application of Geostatistics to Evaluate Partial Weather Station Networks**, Agric. Forest Meteorol. 84, 255–271.
- Azizi, Gh. and Roshani, M., 2008, **Study of Climate Change on the South Coast of the Caspian Sea with Man-Kendall Method**, Geographical Research, 40(64): 13-28.
- Aytek, A., 2008, **Co-active Neuro-fuzzy Inference System for Evapotranspiration Modeling**, Soft Computing-A Fusion of Foundations, Methodologies and Applications, 13(7): 691-700.
- Daneshkar, A., Tajrishi, P., Mirlatifi, M., and Saghafian, B., 2004, **Necessity of Revision on Free Water Surface Estimation Models in Arid Areas with Regional Advection: Chahnameh Reservoirs as a Case Study**, J. Agricultural Engineering Research, 5(15): 37-58.
- Dehghani sanij, H., Yamamoto, T. and Rasiah, V., 2004, **Assessment of Evapotranspiration Estimation Models for use in Semi-arid Environments**, Agricultural water management 64, 91-106.
- Dinpashoh, Y., 2006, **Study of Reference Crop Evapotranspiration in I.R. of Iran**, Agricultural Water Management 84, 123-129.
- Farshi, A. and Shariati, M., 1999, **Patterns of Water Use in Agriculture**, Water Requirements of Plants, Patterns of Cultivation and Irrigation Efficiency, 16th press, Tehran, Agricultural Education Publication.
- Fontenot, Royce Landon, 2004, **An Evaluation of Reference Evapotranspiration Models in Louisiana**, B.S., Thesis, Louisiana State University and A&M College, Pp. 83.

- Ghafari, A., Ghasemi, V. and Depao, V., 2004, **Agricultural Climate Zone Classification with UNESCO Method**, Drought and drought, 12: 30-35.
- Ghasemi, A., 2008, **Evaluation of Garlic Evapotranspiration in Hamedan Using Empirical Models**, Artificial Neural Network Approachand Lysimeter, The thesis, submitted for the degree of Master of Science. Faculty of agriculture department of water engineering Bu Ali Sina University.
- Gong, Lebing, Xu, Chong-yu, Chen, Deliang, Halldin, Sven and Chen, Yongqin David, 2006, **Sensitivity of the Penman–Monteith Reference Evapotranspiration to Key Climatic Variables in the Changjiang (Yangtze River) Basin** Journal of Hydrology, 329: 620– 629.
- Grismer, M.ASCE, Orang, Morteza and Matyac, Scott, 2002, **Pan Evaporation to Evapotranspiration Conversion Methods**, J. Irrig. Drain. Eng, 128(3): 180–184.
- Habashi, H., Hoseini, S.M., Mohamadi, J. and Rahmani, R., 2007, **Geostatistic Applied in Forest Soil Studying Processes**, J. Agric. Sci. andNator. Resour, 14(1): 18-27.
- Irmak, S., Irmak, A., Allen, R.G. and Jones, J.W., 2003, **Solar and Net Radiation-based Equations to Estimate Reference Evapotranspiration in Humid Climates**, J. Irrig. Drain .Eng. 129(5): 336-347.
- Jacovides, C.P., 1997, **Reply to Comment on Statistical Procedures for the Evaluation of Evapotranspiraiton Models**, Agricultural Water management 3, 95-97.
- Jensen, M.E., Burman, R.D. and Allen, R.G., 1990, **Evapotranspiration and Irrigation Water Requirements**, ASCE Manual and Report on Engineering Practice, No.70. New York.
- Khodagholi, M., Masoodian, S.A., Kaviani, M.R. and Kamaley, Gh., 2006, **A Survey of Phyto- climatology of Zayanderoud Basin**, Pajouhesh & Sazandegi, 70, 41-53.
- Kouchakzadeh, M. and Nikbakht, J., 2004, **Comparison of Different Methods to Estimate Reference Evapotranspiration in Iran Different Climate with PMFAO Standard Method**, Agricultural Sciences, 10(3): 43-57.
- Kouchakzadeh, M. and Bahmani, A., 2005, **Assessment of Artificial Neural Networks Revenue in Reducing Required Parameters for Estimation of Reference Evapotranspiration**, Journal of Agricultural sciences Islamic Azad University, No. 4: 87-97.
- Kumar Munish, Raghuwanshi N.S., Singh Rajvikram, Wallender Wesley and Pruitt W.O., 2002, **Estimating Evapotranspiration Using Artificial Neural Network**, J. Irrig Drain Eng ASCE 128(4): 224–233.
- Lin, Chih-Hsien, Chao, Cheng and Chen, Wen-Fu, 2008, **Estimation Regional Evapotranspiration by Adaptive Network-based Fuzzy Inference System for Dan-Shui Basin in Taiwan**, J. Chinese Inst. of Eng. 30(6): 1091-1096.
- Mardikis, M.G., Kalivas, D.P. and Kollias, V.J., 2005, **Comparison of Interpolation Methods for the Prediction of Reference Evapotranspiration-An Application in Greece**, Water Res. Manag. 19, 251–278.
- Nasajizavareh, M. and Sadeghifar, R., 2007, **Estimation of Reference Evapotranspiration with using Different Methods (Case study: Karaj)**, The 9th national conference of irrigation and reduce evaporation, Kerman.

- Odhiambo L.O., Yoder R.E., Yoder D.C., and Hines J.W., 2001, **Optimization of Fuzzy Evaporation Model Through Neural Training with Input-output Examples**, Trans. ASAE. 44(6): 1625-1633.
- Phillips, Donald and Marks, Danny, 1996, **Spatial Uncertainty Analysis: Propagation of Interpolation Errors in Spatially Distributed Models**, Ecol. Model. 91, 213–229.
- Rahimi Khoob, A., 2008, **Artificial Neural Network Estimation of Reference Evapotranspiration from pan Evaporation in a Semi-arid Environment**, Irrig. Sci. 27, 35–39.
- RahimZadeh, F., and Khoshkam, M., 2003, **Moisture Series Changes in Country Synoptic Stations**, The third Regional Conference and the first Climate Change National Conference, 53-62. Isfahan University of Technology.
- Raziei, T., Daneshkar Arasteh, P. and Saghafian, B., 2005, **Annual Rainfall Trend Analysis in Arid and Semi-arid Region of Central and Eastern Iran**, Water and Wastewater, 54, 73-81.
- Sabziparvar, A.A., Tafazoli, F., Zare Abyaneh, H., Banejad, H., Mousavi Bayegi, M., Ghafouri, M., Mohseni Movahed, A. and Maryanaji, Z., 2008, **Comparison of some Crop Reference Evapotranspiration Models in a Cold Semi-arid Climate to Optimize the use of Radiation Models**, J. Water and Soil. Agr. Sci. and Thechnology Ferdowsi University of Mashhad, 22(2): 328-340.
- Sabziparvar, A., 2008, **A Simple Formula for Estimating Global Solar Radiation in Central Arid Deserts of Iran**, J. Renewable Energy, 33(5): 1002-1010.
- Sabziparvar, A.A., and Shetaee, H., 2007, **Estimation of Global Solar Radiation in Arid and Semi-arid Climates of East and West Iran**, Energy, 32, 649–655.
- Saito, Hirotaka, Seki, Kazuhiko and Simunek, Jiri., 2008, **Geostatistical Modeling of Spatial Variability of Water Retention Curves**, Hydrology and Earth System Sciences Discuss., 5, 2491-2522.
- Salih, A.M. and Sendil, U., 1983, **Evapotranspiration under Extremely Arid Environment**, J. Irrig. Drain. Eng. 110(3): 289–303.
- Sawano, Shinji, Hotta, Norifumi, Komatsu, Hikaru, Suzuki, Masakazu and Yayama, Tomoko., 2007, **Forest Environments in the Mekong River Basin (Evaluation of Evapotranspiration in Forested Areas in the Mekong Basin Using GIS Data Analysis**, Pp: 295 (36-44).
- Shoayb, S.K. and Majdzadeh, B., 2008, **The Best Empirical Relationship Reference Plant Evapotranspiration in Comparison with Data Lysimeter in Kerman**, Water and Irrigation, 13, 43-46.
- Sun, Li and Song, Changchun, 2008, **Evapotranspiration from a Freshwater Marsh in the Sanjiang Plain**, Northeast China, Journal of Hydrology, 352, 202– 210.
- Tafazzoli, F., 2007, **Evaluation of Sensitivity of Evapotranspiration Models to Daily Solar Radiation in Semi-arid Climate of Hamedan for Optimum Use of Radiation Models**, The thesis, submitted for the degree of Master of Science, Faculty of agriculture department of water engineering Bu Ali Sina University, Pp. 96.